

++++++
基础研究
++++++

· 论著 ·

GDF11 对 ApoE^{-/-} 糖尿病小鼠内皮依赖性血管舒张功能的作用

梅稳 向光大 卢俊颜 李欢 向林 董靖

【摘要】目的 研究生长分化因子 11(GDF11)对载脂蛋白 E 基因敲除(ApoE^{-/-})糖尿病小鼠胸主动脉内皮依赖性血管舒张功能的影响,探讨其可能的机制。**方法** 40 只 4 周龄健康雄性 ApoE^{-/-} 小鼠按随机数字法选择 10 只作为正常对照组(NC 组),以正常饲料喂养,其余 30 只以高脂饲料喂养 4 周后,连续 5 d 腹腔注射链脲佐菌素(50 mg/kg)制备 2 型糖尿病模型。将造模成功小鼠共 20 只按随机数字法分为 GDF11 组($0.1 \text{ mg} \cdot \text{kg}^{-1} \cdot \text{d}^{-1}$ 腹腔注射, $n = 10$)和糖尿病对照组(T2DM 组,等量磷酸盐缓冲液腹腔注射, $n = 10$)。干预 4 周后,检测各组空腹血糖、空腹胰岛素、HbA1c、GDF11 浓度,并计算稳态模型评估-胰岛素敏感性指数(HOMA-ISI);测定各组小鼠离体胸主动脉条的张力反应及主动脉一氧化氮含量,Western 印迹检测主动脉内皮型一氧化氮合酶(eNOS)、磷酸化 eNOS(P-eNOS)、Smad2/3、磷酸化 Smad2/3(P-Smad2/3)水平。**结果** 与 NC 组相比,T2DM 组空腹血糖、空腹胰岛素、HbA1c 水平升高,GDF11 浓度及 HOMA-ISI 降低,乙酰胆碱引起的内皮依赖性舒张反应降低;与 T2DM 组相比,GDF11 组上述指标均有改善($F = 70.923 \sim 675.430, P < 0.01$)。而硝普钠诱导的内皮非依赖性舒张反应各组间差异无统计学意义($P > 0.05$)。与 NC 组相比,T2DM 组血管中一氧化氮含量、P-eNOS 水平、磷酸化 Smad2/3 水平下降,GDF11 组上述指标均有显著升高($F = 40.120 \sim 148.060, P < 0.01$)。**结论** GDF11 通过促进一氧化氮生成,激活 Smad2/3 信号通路,改善 ApoE^{-/-} 糖尿病小鼠内皮依赖性血管舒张功能。

【关键词】 生长分化因子 11; 2 型糖尿病; 内皮依赖性血管舒张; 一氧化氮

基金项目: 国家自然科学基金资助项目(81370896)

Effects of GDF11 on endothelium-dependent vasodilation function of aorta in ApoE^{-/-} diabetic mice

Mei Wen*, Xiang Guangda, Lu Junyan, Li Huan, Xiang Lin, Dong Jing. * Wuhan Clinical Institute Affiliated to Southern Medical University, Guangzhou 510515, China

Corresponding author: Xiang Guangda, Email: Guangda64@hotmail.com

【Abstract】 Objective To explore the effects of growth differentiation factor 11 (GDF11) on endothelium-dependent vasodilation function of aorta in apolipoprotein E-Null (ApoE^{-/-}) diabetic mice and to investigate the mechanisms. **Methods** Ten of the 40 healthy male ApoE^{-/-} mice at 4-week age were selected as normal control group according to random number method and received basic diet, whereas the other 30 mice were fed with high-fat diet for 4 weeks and then treated with streptozotocin intraperitoneal injection (50 mg/kg) for 5 days to induce type 2 diabetes mellitus (T2DM). Diabetes was successfully induced in twenty mice which were then randomly divided into GDF11 group ($0.1 \text{ mg} \cdot \text{kg}^{-1} \cdot \text{d}^{-1}$ intraperitoneal injection, $n = 10$) and T2DM control group (T2DM group, equivalent phosphate buffered saline, $n = 10$) according to random number method. After 4 weeks of intervention, fasting plasma glucose, fasting plasma insulin, HbA1c and serum GDF11 were measured respectively. Homeostasis model assessment-insulin sensitive index (HOMA-ISI) was calculated. The relaxation response and nitric oxide levels were detected in isolated aorta of mice. Acetylcholine (Ach)-induced endothelium-dependent vasodilation and sodium nitroprusside (SNP)-induced endothelium-independent vasodilation were measured in aortas for estimating endothelial function. Endothelial nitric oxide synthase (eNOS), phosphorylated eNOS (P-eNOS) and Smad2/3, phosphorylated Smad2/3 (P-Smad2/3) were measured by Western blotting in isolated aorta of mice.

Results Compared with NC group, fasting plasma glucose, fasting plasma insulin, and HbA1c were signifi-

DOI: 10.3760/cma.j.issn.1673-4157.2016.02.007

作者单位: 510515 广州,南方医科大学附属武汉临床学院(梅稳,向光大,卢俊颜,李欢); 430070 武汉,广州军区武汉总医院内分泌科(向光大,向林,董靖)

通信作者: 向光大, Email: Guangda64@hotmail.com

cantly increased, meanwhile HOMA-ISI, serum GDF11 concentration and Ach-dependent relaxation response were significantly reduced in T2DM group; compared with T2DM group, all markers mentioned above were improved in GDF11 group ($F = 70.923-675.430$, all $P < 0.01$); whereas the SNP-independent relaxation were not different among three groups ($P > 0.05$). Compared with NC group, nitric oxide, P-eNOS, P-Smad2/3 were significantly decreased in T2DM group, but indexes mentioned above were all increased in GDF11 group ($F = 40.120-148.060$, all $P < 0.01$). **Conclusion** GDF11 improves endothelium-dependent vasodilation function in ApoE^{-/-} diabetic mice by enhancing nitric oxide synthesis and Smad2/3 signaling pathways.

[Key words] Growth differentiation factor 11; Type 2 diabetes mellitus; Endothelium-dependent vasodilation; Nitric oxide

Fund program: National Natural Science Foundation of China (81370896)

2型糖尿病(T2DM)与动脉粥样硬化(AS)关系密切,表现在患者出现AS的时间早、程度重、预后差。糖尿病能引起内皮功能紊乱,而内皮依赖性舒张功能紊乱是发生AS的一个早期标志,也是糖尿病多种血管并发症的病理基础^[1]。生长分化因子11(GDF11),又名骨形态发生蛋白11,属于转化生长因子-β超家族成员之一。GDF11是一种在早期胚胎发育过程中起重要作用的蛋白,对多种器官发育起调控作用^[2-4]。最近的研究发现,GDF11可以恢复衰老小鼠的神经干细胞再生和分化潜能,增加老年小鼠大脑血管腔体积和血流量,这种作用是通过直接促进内皮细胞增殖实现的^[5]。本研究使用高脂饮食联合小剂量链脲佐菌素(STZ)腹腔注射诱导T2DM小鼠模型,并用GDF11进行干预,观察其对小鼠血管内皮依赖性舒张功能、一氧化氮浓度的影响,探讨GDF11的作用机制。

1 材料和方法

1.1 实验材料与试剂 高脂饲料购于北京华阜康公司。重组人GDF11(Pepro Tech公司)、STZ及去甲肾上腺素(Sigma公司)、血糖仪及试纸(强生公司)、胰岛素放射免疫检测试剂盒、HbA1c、GDF11 ELISA检测试剂盒(伊莱瑞特生物科技有限公司)、一氧化氮检测试剂盒(南京凯基)、氯化乙酰胆碱(上海阿拉丁公司)、一抗[单克隆兔抗人内皮型一氧化氮合酶(eNOS)、磷酸化eNOS(P-eNOS)、Smad2/3、磷酸化Smad2/3(P-Smad2/3)抗体]、二抗[单克隆山羊抗兔抗体(辣根过氧化物酶标记),美国CST公司]、BL-420S生物信号采集系统、JH-2型张力换能器及HV-4恒温灌流系统均购买于成都泰盟公司。

1.2 实验方法

1.2.1 T2DM小鼠模型的建立 40只4周龄的SPF级雄性载脂蛋白E基因敲除(ApoE^{-/-})小鼠[批号为SCXK(京)2014-0004],按照随机数字法选择10只作为正常对照组(NC组),予以普通饲料喂养。其余30只准备造模,予以高脂饲料喂养。4周后准备造模小鼠禁食12 h,连续5 d腹腔注射STZ(50 mg/kg)进行T2DM造模,NC组仅腹腔注射等体积柠檬酸-柠檬酸钠缓冲液。注射1周后测腹腔葡萄糖耐量试验,以空腹血糖≥7.0 mmol/L和(或)餐后2 h血糖≥11.1 mmol/L为T2DM小鼠成模标准,共造模成功20只。

1.2.2 动物分组及干预 将造模成功的20只小鼠按照随机数字法分为糖尿病对照组(T2DM组, $n=10$)和GDF11组($n=10$),GDF11组根据小鼠体重每天给予 $0.1 \text{ mg} \cdot \text{kg}^{-1} \cdot \text{d}^{-1}$ 的GDF11,连续4周腹腔注射^[5]。NC组和T2DM组每天予以等量的磷酸盐缓冲液腹腔注射。

1.2.3 各组小鼠体重、空腹血糖、空腹胰岛素、HbA1c和GDF11浓度的测定 记录各组小鼠第4,10,14周时的体重。14周实验结束时,尾部取血测血糖,腹腔注射1%戊巴比妥钠60 mg/kg麻醉小鼠,皮肤消毒后开腹,下腔静脉采血,离心后取血清,ELISA检测胰岛素、HbA1c和GDF11浓度。计算稳态模型评估-胰岛素敏感性指数(HOMA-ISI)=1/(空腹血糖×空腹胰岛素)。

1.2.4 离体胸主动脉内皮舒张功能测定 每组取其中5只采过血的小鼠,迅速开胸,剪除肺脏组织,在体式显微镜下移除主动脉血管鞘及周围结缔组织,每只小鼠取出4段胸主动脉环,每段长约4 mm,将血管环悬于挂钩,置于37℃持续通95% O₂+5% CO₂混合气体的Krebs液中。在含Krebs液的恒温

灌流槽中,下方以钢钩固定于槽底,上方通过 JH-2 张力换能器连接 BL-420S 生物信号采集系统记录张力变化。调整基础静息张力 0.5 g,平衡 1 h。血管环张力平衡后,向浴槽中加入终浓度为 10^{-6} mol/L 的苯肾上腺素收缩主动脉环,待其收缩张力达到平顶后,依次加入终浓度分别为 1×10^{-9} , 1×10^{-8} , 1×10^{-7} , 1×10^{-6} , 1×10^{-5} , 1×10^{-4} mol/L 的乙酰胆碱诱导血管舒张,同步记录每一浓度下主动脉环张力的变化,取 4 个环的平均张力,各浓度的内皮依赖性舒张反应为[(最大张力 - 各浓度点张力)/(最大张力 - 基础值)] × 100%。冲洗血管重新平衡至基础张力,换用浓度为 $10^{-9} \sim 10^{-4}$ mol/L 的硝普钠测定血管内皮非依赖性舒张功能。

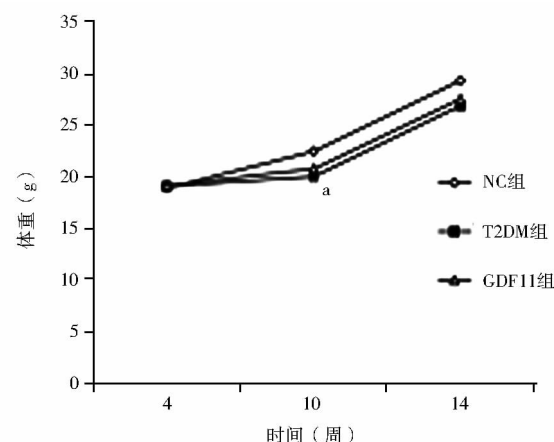
1.2.5 主动脉一氧化氮含量、eNOS、P-eNOS、Smad2/3、P-Smad2/3 表达水平检测 每组剩余 5 只采过血的小鼠,取其主动脉的一半,加入 1:10 冷生理盐水,匀浆后离心,取上清液,按一氧化氮检测试剂盒步骤测定。另外一半主动脉于液氮中冻存备测 Western 印迹。测定时,主动脉匀浆,测蛋白浓度后,各样本取 50 μg 蛋白上样于 12% 的 PAGE 胶电泳,电泳后转膜于 0.2 μm 的硝酸纤维素膜,室温摇床封闭 2 h,然后用相应特异性一抗[抗 eNOS、P-eNOS(Ser1177)、Smad2/3、P-Smad2/3 抗体]和辣根过氧化物酶标记的二抗处理,最后用增强的化学发光剂染色、显影。

1.3 统计学处理 采用 SPSS21.0 软件进行统计学分析。正态分布的计量数据以 $\bar{x} \pm s$ 表示,若资料符合正态性、方差齐,多组间比较采用单因素方差分析(ANOVA),组间比较采用 LSD 检验;方差不齐时多组间比较采用近似 F 检验的 Welch 法,组间比较采用非参数检验的 Tamhane's T2 法, $P < 0.05$ 为差异有统计学意义。

2 结果

2.1 各组体重、空腹血糖、空腹胰岛素和 HbA1c 的

比较 10 周时,T2DM 组体重低于 NC 组($F = 4.635$, $P < 0.05$);14 周时 T2DM 组和 GDF11 组体重低于 NC 组,但各组体重差异无统计学意义($P > 0.05$)。与 NC 组相比,GDF11 组、T2DM 组空腹血糖、空腹胰岛素、HbA1c 均显著升高,HOMA-ISI 显著下降(P 均 < 0.01)。与 T2DM 组相比,GDF11 组空腹血糖、空腹胰岛素、HbA1c 均降低,HOMA-ISI 上升(P 均 < 0.01),见图 1,表 1。



注: NC 组:对照组;T2DM 组:糖尿病对照组;GDF11 组:GDF11 干预组;GDF11:生长分化因子 11;与 NC 组相比,^a $P < 0.01$

图 1 3 组小鼠不同时间点体重的比较

2.2 各组 GDF11 浓度的比较 T2DM 组血清 GDF11 浓度低于 NC 组,GDF11 组血清 GDF11 浓度高于 T2DM 组,但仍低于 NC 组[NC 组:(220.71 ± 6.83) ng/L; T2DM 组:(147.46 ± 4.92) ng/L; GDF11 组:(206.47 ± 7.03) ng/L, $F = 675.430$, $P < 0.01$]。

2.3 GDF11 对乙酰胆碱诱导的主动脉内皮依赖性舒张功能的影响 与 NC 组相比,T2DM 组小鼠胸主动脉对乙酰胆碱诱导的内皮依赖性舒张反应显著下降[(92.32 ± 2.17)% vs. (60.03 ± 3.07)%,乙酰胆碱: 10^{-4} mmol/L, $F = 590.380$, $P < 0.01$],而对硝普钠诱导的内皮非依赖性舒张功能,差异无统计学意义;

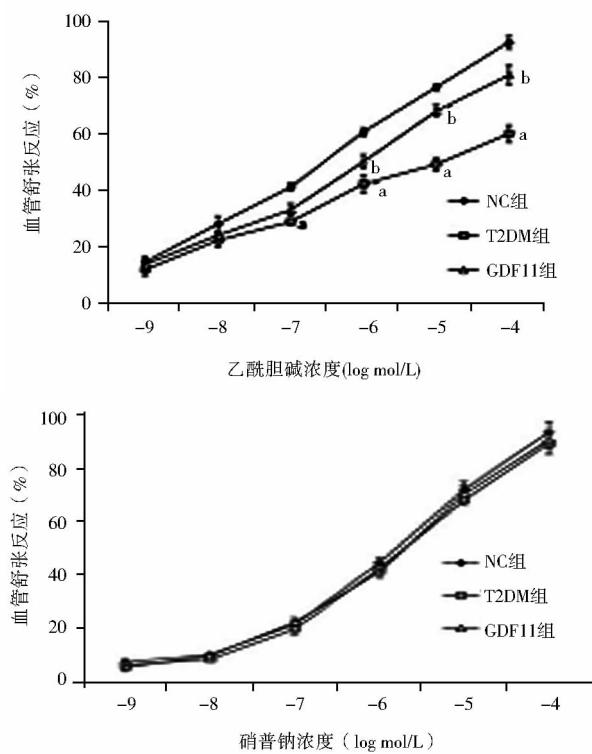
表 1 3 组小鼠 14 周时空腹血糖、空腹胰岛素、HbA1c 和 HOMA-ISI 的比较($\bar{x} \pm s$)

组别	例数	FPG (mmol/L)	FINS (mIU/L)	HbA1c (%)	HOMA-ISI($\times 10^{-3}$)
NC 组	10	5.92 ± 0.68	13.54 ± 1.78	5.94 ± 0.52	12.66 ± 2.31
T2DM 组	10	18.76 ± 1.21^a	28.31 ± 2.81^a	9.22 ± 0.50^a	1.95 ± 0.54^a
GDF11 组	10	13.54 ± 1.95^{ab}	18.43 ± 2.13^{ab}	7.82 ± 0.57^{ab}	5.07 ± 1.12^{ab}
F 值		229.080	70.923	76.965	132.671
P 值		0.000	0.000	0.000	0.000

注: NC 组:对照组;T2DM 组:糖尿病对照组;GDF11 组:GDF11 干预组;GDF11:生长分化因子 11;与 NC 组相比,^a $P < 0.01$,与 T2DM 组相比,^b $P < 0.01$;FPG:空腹血糖;FINS:空腹胰岛素;HOMA-ISI:稳态模型评估-胰岛素敏感性指数

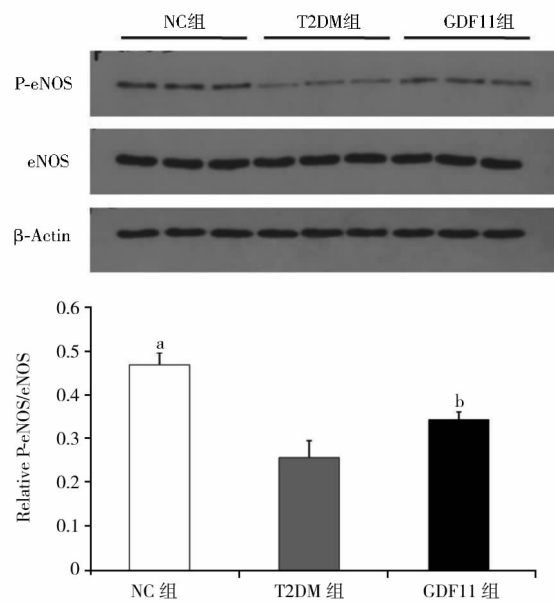
与 T2DM 组相比, GDF11 组上述指标得到改善 [$(80.85 \pm 3.26)\%$ vs. $(60.03 \pm 3.07)\%$, 乙酰胆碱: 10^{-4} mmol/L, $F = 179.240, P < 0.01$], 对硝普钠诱导的舒张反应差异仍无统计学意义 [$(93.31 \pm 4.13)\%$ vs. $(89.23 \pm 3.83)\%$ vs. $(90.59 \pm 3.27)\%$, 硝普钠: 10^{-4} mmol/L, $F = 1.365, P > 0.05$], 见图 2。

2.4 各组小鼠主动脉一氧化氮含量和 Western 印迹结果 与 NC 组相比, T2DM 组、GDF11 组离体主动脉一氧化氮含量显著下降 [NC 组: (118.31 ± 7.21) $\mu\text{mol}/\text{mg}$; T2DM 组: (68.31 ± 5.17) $\mu\text{mol}/\text{mg}$; GDF11 组: (95.07 ± 4.02) $\mu\text{mol}/\text{mg}, P < 0.01$]; 与 T2DM 组相比, GDF11 组一氧化氮含量显著升高 ($F = 148.060, P < 0.01$)。Western 印迹结果显示, 与 NC 组相比, T2DM 组 P-eNOS/eNOS 水平显著降低 ($P < 0.01$), 而 GDF11 组 P-eNOS/eNOS 水平显著高于 T2DM 组, 但低于 NC 组 ($F = 40.123, P < 0.01$), 见图 3。与 NC 组和 T2DM 组相比, GDF11 组 P-Smad2/Smad2、P-Smad3/Smad3 水平显著升高 ($P < 0.01$), 而 T2DM 组 P-Smad2/Smad2、P-Smad3/



注: NC 组: 对照组; T2DM 组: 糖尿病对照组; GDF11 组: GDF11 干预组; GDF11: 生长分化因子 11; Ach: 乙酰胆碱; SNP: 硝普钠; 与 NC 组相比, ^a $P < 0.05$; 与 T2DM 组相比, ^b $P < 0.05$

图 2 3 组小鼠主动脉对不同浓度 Ach 和 SNP 介导的血管舒张反应



注: NC 组: 对照组; T2DM 组: 糖尿病对照组; GDF11 组: GDF11 干预组; GDF11: 生长分化因子 11; eNOS: 内皮型一氧化氮合酶; P-eNOS: 磷酸化内皮型一氧化氮合酶; 与 T2DM 组、GDF11 组相比, ^a $P < 0.01$; 与 T2DM 组相比, ^b $P < 0.01$

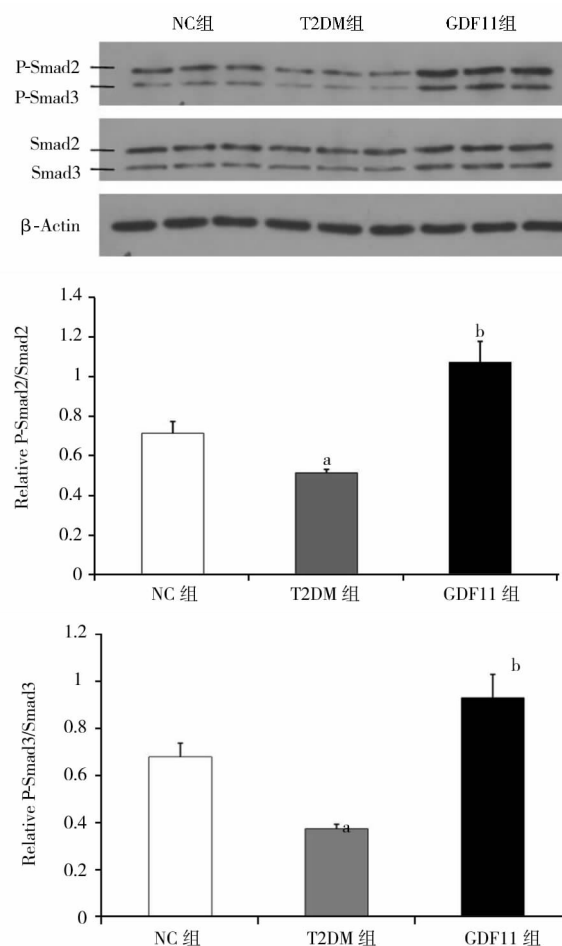
图 3 GDF11 对主动脉 eNOS 蛋白表达的影响

Smad3 水平又显著低于 NC 组 ($F = 48.472, 50.957, P$ 均 < 0.01), 见图 4。

3 讨论

本研究提示, 通过高脂饮食联合小剂量 STZ 进行 T2DM 造模, 可以观察到 T2DM 组空腹血糖、空腹胰岛素和 HbA1c 水平较 NC 组明显上升, HOMA-ISI 明显下降, 提示胰岛素抵抗明显。胰岛素抵抗是糖尿病患者发生 AS 的独立危险因素。胰岛素抵抗可引起“糖毒性”、“脂毒性”及血管内皮功能障碍, 加速 AS 进展^[6]。研究观察到 GDF11 干预 ApoE^{-/-} 糖尿病小鼠后, 不仅空腹血糖、胰岛素和 HbA1c 较 T2DM 组有不同程度的下降, HOMA-ISI 也有所改善, 显示 GDF11 可以改善 T2DM 小鼠糖代谢水平, 减轻胰岛素抵抗。因此, 减轻胰岛素抵抗可能是 GDF11 改善血管内皮功能障碍的机制之一。

血管内皮功能障碍是包括 AS 在内的多种心血管疾病的早期病理生理改变^[7]。通过测定以内皮依赖性舒张功能为代表的内皮功能, 可早期预测疾病发生的风险及预后。同时它也可以用来评估药物是否具有心血管保护作用。本研究中, 各组间非内皮依赖性舒张功能无明显区别, 说明血管对乙酰胆



注: NC 组: 对照组; T2DM 组: 糖尿病对照组; GDF11 组: GDF11 干预组; GDF11: 生长分化因子 11; 与 NC 组相比, ^a*P* < 0.01; 与 NC 组和 T2DM 组相比, ^b*P* < 0.01

图 4 GDF11 对主动脉 Smad2/3 蛋白表达的影响

碱引起舒张反应的差异是由内皮功能不同引起的。T2DM 组内皮依赖性舒张功能下降, GDF11 组内皮依赖性舒张功能得到改善, 说明 GDF11 保护了血管内皮, 即具有潜在的心血管保护作用。

在体内, 调节内皮依赖性舒张功能的重要介质是一氧化氮, 它是以左旋精氨酸为底物, 由 eNOS 催化合成的^[8]。eNOS 主要在动、静脉内皮细胞表达, 多种化学物质和病理生理刺激如乙酰胆碱、血管内皮生长因子、血糖、血脂等, 参与调节 eNOS 的活性, 从而影响一氧化氮的产生。一氧化氮对血管的正常功能起重要作用, 调节内皮细胞的舒张、增殖、衰老和凋亡, 还具有防止 AS 的作用^[9-10]。本研究中, T2DM 组的主动脉 P-eNOS/eNOS 下降, 一氧化氮含量降低是导致其内皮功能障碍的主要原因。体内给予重组 GDF11 蛋白后, 上调了 eNOS 的活性、增加了

一氧化氮的产生, 进一步证实了 GDF11 对糖尿病血管并发症的保护作用。

GDF11 实现多种生物学功能的基础是先与胞膜上活动素ⅡA 和ⅡB 型受体结合, 再磷酸化Ⅰ型受体 ALK5, 形成配体受体复合物作用于胞浆内的 Smad2/3 蛋白, 活化的 Smad2/3 蛋白与通用型 Smad4 结合形成复合物, 转移至细胞核, 调节基因的转录、翻译和表达^[11-12]。最近的研究指出, 衰老小鼠血清 GDF11 水平下降, 它能增加小鼠大脑血管体积和分支数, 体外实验发现 GDF11 能够促进大脑毛细血管内皮细胞增殖, 并且这种作用是通过磷酸化 Smad2/3 通路实现的^[5,13]。此外, 一个 8.9 年的随访研究发现, 在稳定性冠心病患者中, 血清 GDF11 水平低的患者发生心血管事件(如心肌梗死、卒中、心力衰竭入院、死亡)的风险高, 说明 GDF11 对冠心病患者具有一定的保护作用^[14-15]。本研究采用高脂饮食联合 STZ 制备 T2DM 模型, 发现造模后, 血清 GDF11 水平下降。T2DM 小鼠外源性补充 GDF11 后, 主动脉磷酸化 Smad2、磷酸化 Smad3 水平升高, 说明激活了血管内皮的 Smad2/3 通路, Smad2/3 蛋白与 Smad4 蛋白结合转移至细胞核, 调节多种基因包括 eNOS 基因的表达, 从而保护了血管内皮。

综上所述, 本研究证实 GDF11 可改善 ApoE^{-/-}糖尿病小鼠的内皮依赖性舒张功能, 其机制是减轻胰岛素抵抗、上调 eNOS 活性、增加一氧化氮浓度和激活 Smad 通路。但 GDF11 蛋白对多种心血管疾病的具体作用和相关机制还需进一步研究。

参 考 文 献

- [1] Molnar J, Yu S, Mzhavia N, et al. Diabetes induces endothelial dysfunction but does not increase neointimal formation in high-fat diet fed C57BL/6J mice [J]. Circ Res, 2005, 96 (11): 1178-1184.
- [2] Nakashima M, Toyono T, Akamine A, et al. Expression of growth/differentiation factor 11, a new member of the BMP/TGFbeta superfamily during mouse embryogenesis [J]. Mech Dev, 1999, 80 (2): 185-189.
- [3] McPherron AC, Lawler AM, Lee SJ. Regulation of anterior/posterior patterning of the axial skeleton by growth/differentiation factor 11 [J]. Nat Genet, 1999, 22 (3): 260-264.
- [4] Esquela AF, Lee SJ. Regulation of metanephric kidney development by growth/differentiation factor 11 [J]. Dev Biol, 2003, 257 (2): 356-370.

- [5] Katsimpardi L, Litterman NK, Schein PA, et al. Vascular and neurogenic rejuvenation of the aging mouse brain by young systemic factors [J]. *Science*, 2014, 344 (6184) : 630-634. DOI: 10.1126/science.1251141.
- [6] Bansilal S, Farkouh ME, Fuster V. Role of insulin resistance and hyperglycemia in the development of atherosclerosis [J]. *Am J Cardiol*, 2007, 99 (4A) : 6B-14B.
- [7] Verma S, Buchanan MR, Anderson TJ. Endothelial function testing as a biomarker of vascular disease [J]. *Circulation*, 2003, 108 (17) : 2054-2059.
- [8] Palmer RM, Ashton DS, Moncada S. Vascular endothelial cells synthesize nitric oxide from L-arginine [J]. *Nature*, 1988, 333 (6174) : 664-666.
- [9] Moncada S, Palmer RM, Higgs EA. Nitric oxide: physiology, pathophysiology, and pharmacology [J]. *Pharmacol Rev*, 1991, 43 (2) : 109-142.
- [10] Oemar BS, Tschudi MR, Godoy N, et al. Reduced endothelial nitric oxide synthase expression and production in human atherosclerosis [J]. *Circulation*, 1998, 97 (25) : 2494-2498.
- [11] Oh SP, Yeo CY, Lee Y, et al. Activin type II A and II B receptors mediate Gdf11 signaling in axial vertebral patterning [J]. *Genes Dev*, 2002, 16 (21) : 2749-2754.
- [12] Andersson O, Reissmann E, Ibáñez CF. Growth differentiation factor 11 signals through the transforming growth factor-beta receptor ALK5 to regionalize the anterior-posterior axis [J]. *EMBO Rep*, 2006, 7 (8) : 831-837.
- [13] Loffredo FS, Steinhauser ML, Jay SM, et al. Growth differentiation factor 11 is a circulating factor that reverses age-related cardiac hypertrophy [J]. *Cell*, 2013, 153 (4) : 828-839. DOI: 10.1016/j.cell.2013.04.015.
- [14] Heidecker B, Olson K, Beatty A. Low levels of growth differentiation factor 11 and high levels of its inhibitor follistatin-like 3 are associated with adverse cardiovascular outcomes in humans [J]. *J Am Coll Cardiol*, 2015, 65 (10S) : A999.
- [15] Olson KA, Beatty AL, Heidecker B, et al. Association of growth differentiation factor 11/8, putative anti-ageing factor, with cardiovascular outcomes and overall mortality in humans: analysis of the Heart and Soul and HUNT3 cohorts [J]. *Eur Heart J*, 2015, 36 (48) : 3426-3434. DOI: 10.1093/euroheartj/ehv385.

(收稿日期:2016-08-22)

· 读者 · 作者 · 编者 ·

《国际内分泌代谢杂志》对运用统计学方法的有关要求

1. 统计学符号:按 GB/T 3558.1-2009《统计学词汇及符号》的有关规定,统计学符号一律采用斜体。
2. 研究设计:应告知研究设计的名称和主要方法。如调查设计(分为前瞻性、回顾性还是横断面调查研究),实验设计(应告知具体的设计类型,如自身配对设计、成组设计、交叉设计、析因设计、正交设计等),临床试验设计(应告知属于第几期临床试验,采用了何种盲法措施等);主要做法应围绕 4 个基本原则(重复、随机、对照、均衡)概要说明,尤其要告知如何控制重要非试验因素的干扰和影响。
3. 资料的表达与描述:用 $\bar{x} \pm s$ 表达近似服从正态分布的定量资料,用 $M(Q_R)$ 表达呈偏态分布的定量资料;用统计表时,要合理安排纵横横目,并将数据的含义表达清楚;用统计图时,所用统计图的类型应与资料性质相匹配,并使数轴上刻度值的标法符合数学原则;用相对数时,分母不宜小于 20,要注意区分百分率与百分比。
4. 统计学分析方法的选择:对于定量资料,应根据所采用的设计类型、资料所具备的条件和分析目的,选择合适的统计学分析方法,不应盲目套用 t 检验和单因素方差分析;对于定性资料,应根据所采用的设计类型、定性变量的性质和频数所具备的条件及分析目的,选用合适的统计学分析方法,不应盲目套用 χ^2 检验。对于回归分析,应结合专业知识和散布图,选用合适的回归类型,不应盲目套用简单直线回归分析;对具有重复实验数据检验回归分析资料,不应简单化处理;对于多因素、多指标资料,要在一元分析的基础上,尽可能运用多元统计分析方法,以便对因素之间的交互作用和多指标之间的内在联系做出全面、合理的解释和评价。
5. 统计结果的解释和表达:应写明所用统计学方法的具体名称(如:成组设计资料的 t 检验、两因素析因设计资料的方差分析、多个均数之间两两比较的 q 检验等),统计量的具体值(如 $t = 3.45, \chi^2 = 4.68, F = 6.79$ 等);在用不等式表示 P 值的情况下,一般情况下选用 $P > 0.05$ 、 $P < 0.05$ 和 $P < 0.01$ 三种表达方式,无须再细分为 $P < 0.001$ 或 $P < 0.0001$ 。当涉及总体参数(如总体均数、总体率等)时,在给出显著性检验结果的同时,应再给出 95% 可信区间。